

توزیع بار الکتریکی محصولات شکافت حاصل از واکنش شکافت اورانیم ۲۳۸ با پروتونهای ۴۵ - ۶۹ MeV

هوشیار نوشاد

پژوهشکده علوم هسته‌ای، پژوهشگاه علوم و فنون هسته‌ای، سازمان انرژی اتمی ایران، صندوق پستی ۸۳۶ - ۱۴۳۹۵، تهران
پست الکترونیکی: hnoshad@aeoi.org.ir

(دریافت مقاله: ۸۶/۵/۱۳؛ دریافت نسخه نهایی: ۸۶/۱۱/۹)

چکیده

واکنش شکافت اورانیم ۲۳۸ با پروتونهای ۴۵ - ۶۹ MeV در مرکز سیکلوترون و رادیوایزوتوپ دانشگاه توهوکوی ژاپن انجام شد. محصولات شکافت حاصل از این واکنش با روش طیف نگاری پرتوهای گاما شناسایی شدند. داده‌های تجربی نشان می‌دهند که توزیع بار الکتریکی محصولات شکافت با عدد جرمی یکسان (ایزوبار) از یک تابع گاوسی با انحراف استاندارد ثابت پیروی می‌کند و بستگی به عدد جرمی ایزوبار انتخاب شده ندارد. این انحراف استاندارد در واکنش $^{238}\text{U}(p, f)$ با پروتونهای ۴۵، ۵۵، ۶۵ و ۶۹ MeV اندازه‌گیری شده است. برای شکافت با پروتونهای ۴۵ MeV، این کمیت با مقدار ارائه شده در آزمایش‌های دیگر به خوبی سازگار است و با پیش‌بینی مدل هاووزر-فیشیک نیز مطابقت دارد. برای انرژیهای دیگر نیز اندازه‌گیری این انحراف استاندارد تاکنون در مقاله‌ها گزارش نشده است. نتایج نشان می‌دهند که با افزایش انرژی برانگیختگی هسته شکافته، توزیع بار الکتریکی محصولات شکافت ایزوبار پهن‌تر می‌شود. در این آزمایش، محتمل‌ترین بار الکتریکی محصولات شکافت ایزوبار نیز به دست آمد. این نتایج با پیش‌بینی مدل "انرژی پتانسیل کمینه (MPE)" سازگاری خوبی دارد. به علاوه، داده‌های تجربی، قطبش بار الکتریکی را نیز در فرایند شکافت هسته‌ای نشان می‌دهند.

واژه‌های کلیدی: توزیع بار الکتریکی، محصولات شکافت، اورانیم ۲۳۸، طیف‌نگاری پرتوهای گاما، پروتونهای ۴۵-۶۹ MeV، بهره شکافت

۱. مقدمه

ایزوبارهای مجاور اندازه گرفته می‌شود [۱]. بیشتر اطلاعات تجربی مربوط به تقسیم بار الکتریکی هسته شکافته از بهره شکافت مستقل به دست آمده است. از طرف دیگر، برای یک پاره شکافت خاص، بیشتر بهره شکافت معمولاً ناشی از واپاشی بتای ایزوبارهایی است که دارای نوترونهای بیشتری هستند و بهره شکافت زیادتری دارند. چنین بهره‌هایی را بهره شکافت انباشته می‌نامند [۱]. اینها اطلاعاتی در باره توزیع جرم پاره‌های شکافت ارائه می‌دهند. خوشبختانه برای محصولات شکافتی که به اندازه کافی از خط پایداری بتا دور هستند، می‌توان از بهره شکافت انباشته نیز اطلاعاتی در باره تقسیم بار الکتریکی هسته شکافته به دست آورد. زیرا برای

فرایند تقسیم بار الکتریکی هسته شکافته بین محصولات شکافت یکی از موضوعات مهم در بحث شکافت هسته‌ای است. متأسفانه داده‌های تجربی زیادی برای توزیع بار الکتریکی پاره‌های شکافت در دسترس نیست. علت آن را می‌توان در مشکل بودن شناسایی دقیق محصولات شکافت جست و جو نمود. برای این منظور باید داده‌های مربوط به بهره شکافت در دسترس باشد. بهره شکافت به دو صورت مستقل و انباشته اندازه‌گیری می‌شود. بهره شکافت مستقل متناظر است با بهره محصولات شکافت پس از گسیل نوترونهای آنی. این نوع بهره شکافت برای یک ایزوبار خاص، بدون دخالت واپاشی بتای

(ECD) معروف است، فرض می‌شود که محتمل‌ترین بار الکتریکی برای یک زوج پاره شکافت به گونه‌ای باشد که به فاصله یکسان از خط پایداری بتا قرار بگیرند. این مدل برای هسته‌های شکافنده با انرژی برانگیختگی پایین کارایی خوبی دارد [۸ و ۳]. در مدل دیگر که مدل "انرژی پتانسیل کمینه (MPE)" نامیده می‌شود، فرض بر این است که توزیع بار الکتریکی به گونه‌ای تغییر می‌کند که مجموع انرژی پتانسیل هسته و انرژی دافعه کولنی آن کمینه شود [۹]. این مدل قادر است توزیع بار الکتریکی محصولات شکافت در واکنشهای شکافت با انرژی برانگیختگی متوسط را به خوبی پیش‌بینی کند. به عنوان نمونه‌ای از کاربرد موفقیت‌آمیز این مدل می‌توان واکنش $^{197}\text{Au}(^{12}\text{C}, f)$ با یونهای کربن 112 MeV را نام برد [۵]. در این آزمایش، در واکنش $^{238}\text{U}(p, f)$ با پروتونهای $45-69\text{ MeV}$ تعدادی از محصولات شکافت شناسایی شدند. سپس توزیع بار الکتریکی برای پاره‌های شکافت ایزوبار و از آن‌جا بهره شکافت آنها در هر انرژی به دست آمد. نتایج تجربی با پیش‌بینی مدل آماری هاوزر-فیشک و مدل انرژی پتانسیل کمینه (MPE) سازگار است. به علاوه نشان داده شد که در واکنش شکافت، قطبش بار الکتریکی محصولات شکافت رخ می‌دهد.

۲. آزمایش

در این آزمایش، یک هدف مرکب شامل چهار هدف نازک اورانیم 238 و تعدادی پولکهای مسی و آلومینیمی با باریکه پروتون 70 MeV حاصل از ستایدهای سیکلوترون دانشگاه توهوکوی ژاپن بمباران شد. از پولکهای نازک مسی و آلومینیمی به منظور کاهش انرژی باریکه پروتون به مقدار مورد نظر و همین‌طور برای اندازه‌گیری شدت باریکه پروتون در مدت زمان آزمایش استفاده شد. بنابراین انرژی باریکه پروتون در هر یک از هدفهای اورانیم به $69, 65, 55$ و 45 MeV می‌رسید. برای ثبت طیفهای گامای گسیل شده از محصولات شکافت و پولکهای مسی و آلومینیمی از دو دستگاه آشکارساز ژرمانیم فوق خالص و دو تحلیل‌گر چند

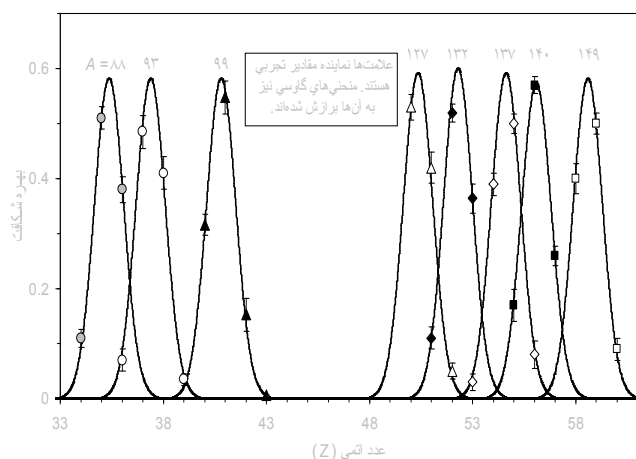
این دسته از محصولات شکافت، بهره انباشته به میزان قابل توجهی از بهره کل کمتر خواهد بود.

توزیع بار الکتریکی محصولات شکافت ایزوبار را می‌توان با یک تابع گاوسی توصیف نمود [۲]. برخی آزمایشها نشان می‌دهند که در واکنشهای شکافت القایی با نوترونهای گرمایی و شکافت خود به خودی، عرض نیم ارتفاع (FWHM) این توزیع مستقل از انرژی برانگیختگی هسته شکافنده است و به نوع هسته شکافنده نیز بستگی ندارد [۳ و ۲]. در واکنشهای شکافت القایی ^{235}U با نوترونهای گرمایی و شکافت ^{232}Th و ^{235}U با نوترونهای آلفا، در محدوده انرژی برانگیختگی تا 57 MeV پراکندگی توزیع بار الکتریکی مقبولی است و برابر $2\sigma^2 = 0.95 \pm 0.05$ است [۳ و ۴]. این توزیع بار الکتریکی به صورت زیر نوشته می‌شود [۴]:

$$p(Z) = \frac{1}{\sqrt{0.95\pi}} \exp\left\{-\frac{(Z-\bar{Z})^2}{0.95}\right\}, \quad (1)$$

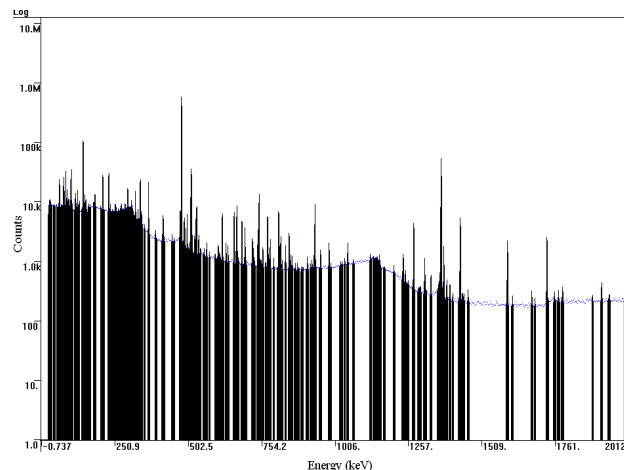
که در آن \bar{Z} محتمل‌ترین بار الکتریکی برای محصولات شکافت ایزوبار است. پراکندگی توزیع بار در واکنش شکافت القایی هسته‌های ^{197}Au با یونهای ^{12}C با انرژی 112 MeV نیز برابر $2\sigma^2 = 0.9 \pm 0.1$ گزارش شده است [۵].

برای برآورد تئوری \bar{Z} نیز مدل‌هایی ارائه شده است. هر چند که هیچ یک از این مدلها قادر نیستند توصیف کاملی از چگونگی تقسیم بار الکتریکی هسته شکافنده بین محصولات شکافت را ارائه دهند. در یکی از این مدلها که "توزیع بار تغییر نیافته (UCD)" نامیده می‌شود، نسبت بار به جرم برای پاره‌های شکافت اولیه (قبل از گسیل نوترونهای آنی) و هسته شکافنده، یکسان در نظر گرفته می‌شود [۶]. به عبارت دیگر، چگالی بار الکتریکی پاره‌های شکافت اولیه و هسته شکافنده با یکدیگر برابرند. این مدل روشی ساده برای برآورد محتمل‌ترین بار الکتریکی ارائه می‌دهد. در اغلب موارد، پیش‌بینی این مدل تفاوت نسبتاً زیادی با نتایج تجربی دارد. انحراف بار الکتریکی هر پاره شکافت اولیه از مقدار پیش‌بینی شده توسط مدل UCD اغلب سودمند است و قطبش بار در فرآیند شکافت نامیده می‌شود [۷]. در مدل دیگر که به مدل "جابه‌جایی یکسان بار



شکل ۲. توزیع بار الکتریکی محصولات شکافت ایزوبار با عددهای جرمی ۸۸، ۹۳، ۹۹، ۱۲۷، ۱۳۲، ۱۳۷، ۱۴۰ و ۱۴۹ در واکنش شکافت اورانیم ۲۳۸ با پروتونهای ۴۵ MeV به همراه منحنیهای گاوسی برازش شده به آنها.

۲۳۸ با پروتونهای ۴۵ MeV و برای ایزوبارهای ۸۸ و ۹۳، ۹۹، ۱۲۷، ۱۳۲، ۱۳۷، ۱۴۰ و ۱۴۹ نشان می‌دهد. منحنیهای گاوسی برازش شده به این نقاط نیز در شکلها نمایش داده شده‌اند. پهنای نیم ارتفاع (FWHM) برای این منحنیهای گاوسی بر حسب عدد جرمی محصولات شکافت ایزوبار ۳ نشان داده شده است. محتمل‌ترین بار الکتریکی (Z) و عرض نیم ارتفاع محصولات شکافت ایزوبار را نیز می‌توان روی تابع گاوسی برازش شده به دست آورد. این کمیتها برای شکافت اورانیم ۲۳۸ با پروتونهای ۴۵، ۵۵ و ۶۵ MeV در جدول ۱ نشان داده شده‌اند. شکل ۴ مقادیر پهنای نیم ارتفاع (FWHM) را به صورت تابعی از انرژی برانگیختگی هسته مرکب شکافته نمایش می‌دهد. برای محاسبه قطبش بار الکتریکی محصولات شکافت باید تعداد نوترونهای آبی گسیل شده از هر پاره شکافت (ν_A) در دسترس باشد تا بتوان جرم محصولات شکافت اولیه (قبل از گسیل نوترونهای آبی) را به دست آورد. به صورت تابعی از عدد جرمی پاره شکافت برای واکنش شکافت اورانیم ۲۳۸ با پروتونهای ۵۵ MeV را می‌توان در مرجع [۱۱] یافت. عدد اتمی به دست آمده از مدل "توزیع بار تغییر نیافته" یعنی ZUCD از



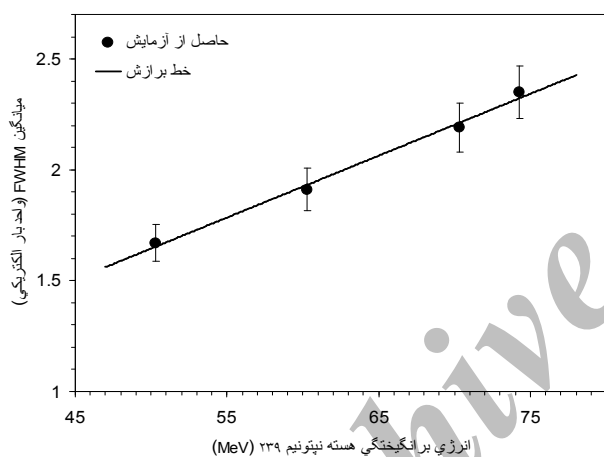
شکل ۱. طیف گامای گسیل شده از محصولات شکافت حاصل از واکنش شکافت القایی اورانیم ۲۳۸ با پروتون ۶۹ MeV. کاناله هر یک با ۴۰۹۶ کانال استفاده شد. دینتعداد قابل توجهی طیف گامای گسیل شده از محصولات شکافت پولکهای مسی و آلومینیومی در فواصل متفاوت و در زمانهای مختلف جمع‌آوری شد. در این آزمایش، قطر باریکه پروتون ۶-۷ mm، زمان بمباران ۳۰ دقیقه، میانگین جریان باریکه $0.72 \mu A$ و کل بار الکتریکی جمع شده در فنجان فارادی تقریباً $1200 \mu C$ بود. شرح مفصل‌تری از آزمایش را می‌توان در مرجع [۱۰] یافت.

۳. آنالیز داده‌های تجربی

شکل ۱ نمونه‌ای از طیف گامای گسیلی از هدف اورانیم ۲۳۸ را برای باریکه پروتون ۶۹ MeV نشان می‌دهد. با در نظر گرفتن قله فوتوالکتریک مناسب، نیمه عمر، نسبت شاخه‌ای، زمان سرد شدن نمونه و زمان اندازه‌گیری طیف، برخی از محصولات شکافت ایجاد شده در آزمایش شناسایی شدند [۱۰]. تعدادی از محصولات شکافت نیز از روی اطلاعات مربوط به پاره شکافت همزاد آن به دست آمدند. سطح مقطع تشکیل هر یک از این محصولات شکافت نیز در مرجع [۱۰] اندازه‌گیری شده است. سپس بهره شکافت برای پاره‌های شکافت با عدد جرمی یکسان به دست آمد. شکل ۲ بهره شکافت تجربی را بر حسب عدد اتمی محصولات شکافت ایجاد شده در واکنش شکافت اورانیم

جدول ۱. محتمل‌ترین بار الکتریکی (Z) و پهنای نیم ارتفاع (FWHM) برای محصولات شکافت ایزوبار آشکار شده در آزمایش شکافت ^{238}U با پروتونهای ۴۵ MeV. مقادیر FWHM برای توزیع بار محصولات شکافت ایزوبار در واکنش شکافت ^{238}U با پروتونهای ۵۵، ۶۵ و ۶۹ MeV نیز مشاهده می‌شوند.

FWHM ($E_p = 69 \text{ MeV}$)	FWHM ($E_p = 65 \text{ MeV}$)	FWHM ($E_p = 55 \text{ MeV}$)	FWHM ($E_p = 45 \text{ MeV}$)	(Z) ($E_p = 45 \text{ MeV}$)	عدد جرمی (A) ($E_p = 45 \text{ MeV}$)
$2/30 \pm 0/02$	$2/16 \pm 0/06$	$1/93 \pm 0/07$	$1/68 \pm 0/06$	۳۵/۳۷	۸۸
$2/38 \pm 0/07$	$2/27 \pm 0/05$	$1/95 \pm 0/09$	$1/67 \pm 0/05$	۳۷/۳۹	۹۳
$2/40 \pm 0/05$	$2/20 \pm 0/07$	$1/91 \pm 0/08$	$1/67 \pm 0/07$	۴۰/۸۱	۹۹
$2/28 \pm 0/10$	$2/18 \pm 0/07$	$1/86 \pm 0/05$	$1/65 \pm 0/06$	۵۰/۳۶	۱۲۷
$2/39 \pm 0/09$	$2/19 \pm 0/08$	$1/87 \pm 0/07$	$1/66 \pm 0/05$	۵۲/۳۰	۱۳۲
$2/32 \pm 0/06$	$2/14 \pm 0/05$	$1/91 \pm 0/05$	$1/64 \pm 0/06$	۵۱/۳۲	۱۳۷
$2/31 \pm 0/06$	$2/17 \pm 0/08$	$1/89 \pm 0/07$	$1/69 \pm 0/05$	۵۶/۱۰	۱۴۰
$2/42 \pm 0/08$	$2/21 \pm 0/07$	$1/96 \pm 0/06$	$1/68 \pm 0/07$	۵۶/۳۰	۱۴۹

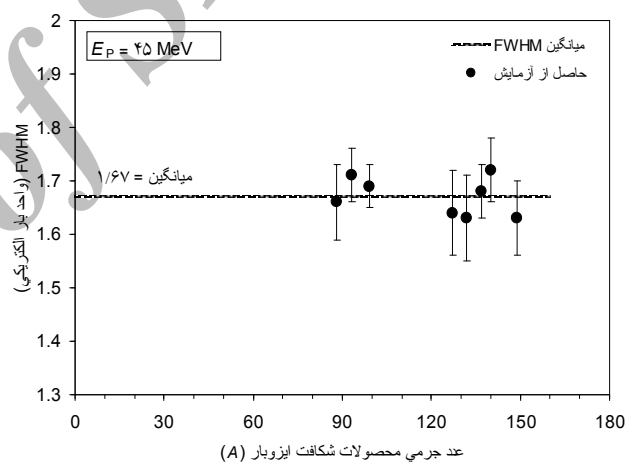


شکل ۴. میانگین FWHM توزیع بار الکتریکی محصولات شکافت ایزوبار بر حسب انرژی برانگیختگی هسته شکافنده نپتونیم ^{239}U ایجاد شده در واکنش $^{238}\text{U}(p, f)$.

از گسیل نوترون در واکنش شکافت اورانیم ^{238}U با پروتونهای ۵۵ MeV نشان می‌دهد.

۴. بحث و نتیجه‌گیری

از شکل ۳ می‌توان دید که میانگین FWHM برای تمام محصولات شکافت ایزوبار آشکار شده در واکنش با پروتونهای ۴۵ MeV، مقدار $1/67 \pm 0/06$ را اختیار می‌کند.



شکل ۳. پهنای نیم ارتفاع (FWHM) توزیع بار الکتریکی محصولات شکافت ایزوبار بر حسب عدد جرمی در واکنش شکافت اورانیم ^{238}U با پروتونهای ۴۵ MeV. میانگین FWHM در این انرژی برابر $1/67 \pm 0/06$ است.

رابطه زیر محاسبه می‌شود:

$$Z_{UCD} = (Z_F / A_F)(A + \nu_A), \quad (2)$$

که در آن Z_F و A_F به ترتیب بار و جرم هسته شکافنده و A عدد جرمی پاره شکافت است [۷]. اختلاف بار الکتریکی هر یک از محصولات شکافت با Z_{UCD} یعنی $\Delta Z = Z - Z_{UCD}$ قطبش بار نامیده می‌شود. شکل ۵ این کمیت را بر حسب عدد جرمی محصولات شکافت قبل

پاره‌های شکافت را به دست آورد. این مدل می‌تواند توصیف نسبتاً خوبی از واکنشهای شکافت القایی هسته‌های سنگین با ذرات باردار سبک ارائه دهد. بر اساس این مدل، توزیع بار الکتریکی محصولات شکافت ایزوبار، قبل از گسیل نوترون، دارای شکل گاوسی با انحراف استاندارد زیر است [۱۳]:

$$\sigma_Z(A, E_{ex}) = \sqrt{0.10 + 0.025 E_{ex}^{1/2}} + \delta, \quad (3)$$

که در آن A و Z به ترتیب عدد جرمی محصولات شکافت ایزوبار و عدد بار الکتریکی، و E_{ex} انرژی برانگیختگی هسته شکافنده است. پارامتر δ نیز در این رابطه به صورت زیر است:

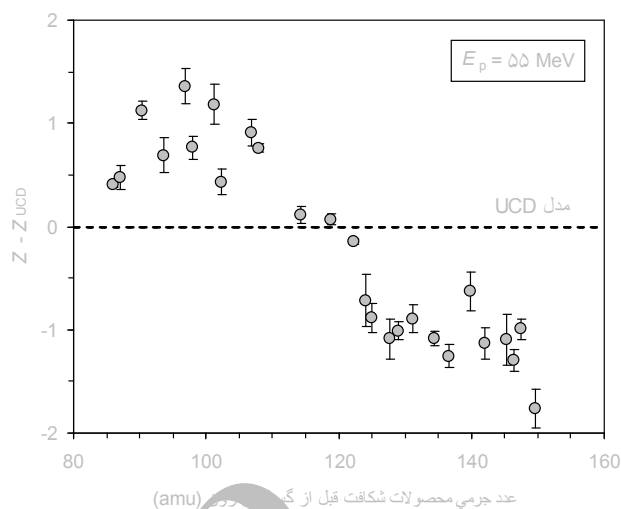
$$\delta = \begin{cases} -0.08 & \text{زوج } N, \text{ زوج } A \\ +0.08 & \text{زوج } N, \text{ فرد } A \\ -0.04 & \text{فرد } N, \text{ زوج } A \\ +0.04 & \text{فرد } N, \text{ فرد } A \end{cases} \quad (4)$$

انحراف استاندارد برآورد شده توسط این مدل، حدود ۲۰٪ کمتر از مقدار اندازه‌گیری شده در این آزمایش یعنی 0.04 ± 0.07 است. بخشی از این اختلاف را می‌توان به گسیل نوترونها از محصولات شکافت نسبت داد، به ویژه آن دسته از محصولات شکافتی که بهره شکافت انباشته برای آنها مقدار قابل توجهی است.

برای برآورد نظری متمم‌ترین بار الکتریکی در فرایند تقسیم بار هسته شکافنده (\bar{Z})، مدل MPE نتیجه نسبتاً رضایت بخشی ارائه می‌دهد [۹]. در این مدل، مسئله تعیین \bar{Z} به محاسبه کمینه انرژی پتانسیل شکافنده در لحظه انقطاع (Scission) منجر می‌شود. بر این منظر باید جرم پاره‌های شکافت سبک و سنگین در هنگام تولد در دسترس باشد. با به کار بردن فرمول گرین [۱۴] برای جرم هسته و محاسبه انرژی پتانسیل کمینه هسته شکافنده می‌توان محتمل‌ترین بار الکتریکی پاره شکافت سبک (\bar{Z}_L) را به صورت زیر به دست آورد [۱۵]:

$$\bar{Z}_L = Z_T \frac{A_L}{A_H} \left[1 + \gamma \left(1 - \gamma \frac{A_L}{A_T} \right) \right], \quad (5)$$

که در آن اندیسهای L و H به ترتیب متناظرند با پاره‌های شکافت سبک و سنگین، و Z_T به صورت زیر تعریف می‌شود:



شکل ۵. قطبش بار الکتریکی ($Z - Z_{UCD}$) محاسبه عدد جرمی محصولات شکافت قبل از گسیل نوترون برانگیختگی شکافت اورانیم ۲۳۸ با پروتونهای ۵۵ MeV. انرژی برانگیختگی هسته شکافنده نپتونیم ۲۳۹ برابر $60/3$ MeV است.

این مقدار متناظر با انحراف استاندارد 0.04 ± 0.07 است. به عبارت دیگر در واکنش $^{238}\text{U}(p, f)$ با پروتونهای ۵۵ MeV (هسته شکافنده ^{239}Np با انرژی برانگیختگی $50/3$ MeV) عرض نیم ارتفاع توزیع بار الکتریکی محصولات شکافت ایزوبار مقداری ثابت و برابر با 0.06 ± 0.07 است. این مقدار بستگی به عدد جرمی ایزوبار انتخاب شده ندارد و با مقدار گزارش شده 0.062 در مرجع [۴] به خوبی سازگار است. به علاوه در واکنش شکافت القایی ^{238}U با پروتونهای ۵۵، ۶۵ و ۶۹ MeV نیز میانگین FWHM برای محصولات شکافت ایزوبار به ترتیب برابر با 0.08 ± 0.09 ، 0.07 ± 0.19 و 0.08 ± 0.35 به دست آمد. این کمیتهای تاکنون در مقاله‌ها گزارش نشده‌اند. انحراف استاندارد توزیع بار الکتریکی محصولات شکافت ایزوبار (σ) را می‌توان با استفاده از مدل آماری هاوزر-فیشبک نیز پیش‌بینی نمود. در این مدل، ابتدا سطح مقطع تشکیل محصولات شکافت به دست می‌آید [۱۲]. سپس می‌توان با در نظر گرفتن مواردی از قبیل حالت‌های ممکن شکافت و اثرات پوسته‌ای در فرایند گسیل نوترون، اصلاحاتی را در این مدل وارد نمود [۱۳] و توزیع جرم و بار الکتریکی

شکافت با عدد جرمی یکسان بهتر می‌شود.

در شکل ۵ می‌توان دید که Z برای ناحیه پاره‌های شکافت سبکتر ($A < 120$) در طرفی قرار می‌گیرد که فزونی پروتون دارد یعنی $\Delta Z = Z - Z_{UCD} > 0$. از طرف دیگر، در ناحیه پاره‌های شکافت سنگین‌تر ($A > 120$) داریم $\Delta Z = Z - Z_{UCD} < 0$ یعنی Z در طرفی قرار می‌گیرد که کاستی پروتون دارد. به عبارت دیگر در فرآیند شکافت، محصولات شکافت سبکتر، با چگالی بار بیشتر به وجود می‌آیند، در حالی که محصولات شکافت سنگین‌تر، با چگالی بار کمتر خلق می‌شوند. این بدان معناست که در فرآیند شکافت هسته‌ای، قطبش بار الکتریکی اتفاق می‌افتد. اگر توزیع بار در فرایند شکافت تغییر نمی‌کرد، کمیت Z برای محصولات شکافت با مقدار به دست آمده از مدل UCD یکسان می‌بود. این وضعیت در شکل ۵ با خط چین نمایش داده شده است. میانگین قطبش بار الکتریکی (ΔZ_{ave}) در این آزمایش برابر 0.09 ± 0.69 به دست آمد. این کمیت با مقدار متناظر با 0.66 حاصل از مدل پیشنهاد شده به وسیله نتایج سازگار است [۱۷]. تقسیم بار الکتریکی هسته‌های شکافت بین محصولات شکافت بستگی به اثرات پوسته‌ای نیز دارد. این اثرات مربوط می‌شود به پاره‌های شکافت تغییر شکل یافته. داده‌های پوسته‌های نوترونی بسته هستند [۱۸].

$$Z_T = \bar{Z}_L + \bar{Z}_H \quad (6)$$

پارامتر γ برای تمام واکنشهای شکافت تقریباً مقداری ثابت و برابر با 0.685 است. این مقدار برای کلیه هسته‌های شکافته در گستره Fm تا Ra، یعنی $88 \leq Z \leq 100$ ، فقط به اندازه 7% تغییر می‌کند. اختلاف \bar{Z}_L با مقادیر تجربی متناظر ارائه شده در جدول ۱ کمتر از 2% است. به علاوه می‌توان محتمل‌ترین بار الکتریکی برای پاره‌های شکافت سبک و سنگین را از روی روابط تجربی زیر محاسبه نمود [۱۶]:

$$\bar{Z}_L = 5/90 + 0/31 A_L + 0.0214 A_L^2, \quad (7)$$

$$\bar{Z}_H = 0/419 A_H - 0.000214 A_H^2. \quad (8)$$

به طوری که از شکل ۴ دیده می‌شود، افزایش انرژی برانگیختگی هسته شکافته از 5.3 MeV به $7.4/3.5 \text{ MeV}$ مقدار FWHM از $1/67$ به $2/35$ افزایش می‌یابد. پهنتر شدن این توزیع در انرژیهای برانگیختگی بالاتر را می‌توانیم با افزایش تعداد نوترونهای گسیل شده در فرایند شکافت تفسیر داد. زیرا تعداد نوترونهای پیش‌شکافت (P-scission) با افزایش انرژی برانگیختگی هسته شکافته به طور خطی زیاد می‌شود، در حالی که تعداد نوترونهای پس‌شکافت (Postscission) عملاً مستقل از انرژی برانگیختگی است [۴]. در نتیجه همان‌گونه که انتظار می‌رود با افزایش انرژی برانگیختگی هسته شکافته، توزیع بار الکتریکی محصولات

مراجع

1. R Vandenbosch and J R Huizenga, *Nuclear Fission*, Academic Press, New York (1973).
2. A C Wahl, R L Ferguson, D R Nethaway, D E Troutter and K Wolfsberg, *Phys. Rev.* **126** (1962) 1112.
3. J A McHugh and M C Michel, *Phys. Rev.* **172** (1968) 1160.
4. H Umezawa, S Baba and H Baba, *Nucl. Phys. A* **160** (1971) 65.
5. H M Blann, *Phys. Rev.* **123** (1961) 1356.
6. G Friedlander, L Friedman, B Gordon and L Yaffe, *Phys. Rev.* **129** (1963) 1809.
7. H Naik, S P Dange and A V R Reddy, *Nucl. Phys. A* **781** (2007) 1.
8. A C Pappas, paper P/881, Proceedings of the *International Conference on the Peaceful Uses of Atomic Energy*, Geneva (1955).
9. R D Present, *Phys. Rev.* **72** (1947) 7.
10. هوشیار نوشاد، مجله پژوهش فیزیک ایران، ۷، شماره ۱، (۱۳۸۶) ۷ - ۱۳.
11. S Shirato, S Kubota, H Takahashi, T Doke, I Ogawa, M Tsukuda and E Tajima, *J. Phys. Soc. Jpn.* **19** (1964) 1809.
12. E Karttunen, M Brenner, V A Rubchena, S A Egorov, V B Funschtein, V A Jakovlev and Yu A Selitskiy, *Nucl. Sci. Eng.* **109** (1991) 350.
13. P P Jauho, A Jokinen, M Leino, J M Parmonen, H Penttilä, J Äystö, K Eskola and V A Rubchenya, *Phys. Rev. C* **49** (1994) 2036.

17. D R Nethaway, *Report No. UCRL-51538*, Lawrence Livermore Lab. (1974).
18. B D Wilkins, E P Steinberg and R R Chasman, *Phys. Rev. C* 14 (1976) 1832.
14. A E S Green, *Revs. Modern Phys.* **30** (1958) 569.
15. J C D Milton, *Report UCRL-9883-Rev.* (1962).
16. C D Coryell, M Kaplan and R D Fink, *Can. J. Chem.* **39** (1961) 646.

Archive of SID